

佐友重機械(株) 正員 ○ 山本 孝雄  
 佐友重機械(株) 正員 北原 俊男

1. まえがき ケーブルの非線形性を考慮した斜張橋の解析については、従来、基本的にはErnstの修正弾性係数に基礎をおいた手法が用いられてきたが、本報告は、A.H.Peyrot等のカタナリー形状に基く単ケーブルの解法を斜張橋ケーブルに応用し、ケーブルの放物線仮定に基いた前田等の手法と並んで、より厳密で実用的な斜張橋の解析法を提案するものである。

2. 解析手法 (1)単ケーブルの解法 ケーブルの解法としては、W.T.O'Brien, A.J.Francisの応力法に基いた手法を始めとして複数提案されてきているが、Peyrot等は、O'Brien等の手法に基き、ケーブル構造の体系的取扱を行って、送電線システムの非線形解析について報告している。この手法は、本質的に後藤によるアプローチと同じであるが、ケーブル剛性を数値的に定義しているのが特徴と言える。以下、この手法の概要について紹介する。

まず、図1に局部座標系(x, y)における単ケーブルの釣合い状態を示す。F<sub>1</sub>~F<sub>2</sub>をケーブル張力ベクトル、T<sub>1</sub>, T<sub>2</sub>を両端点でのケーブル撚線方向張力、L<sub>u</sub>をケーブル無心力長、E<sub>c</sub>A<sub>c</sub>をケーブル伸び剛性、w<sub>c</sub>をケーブル単位長さ当り重量とすると、カタナリー形状からの弾性伸びを仮定して、ケーブル水平投影長H、鉛直投影長V、及びケーブル長Lは、次式のように与えられる。

$$H = F_1 \left( \frac{L_u}{E_c A_c} + \frac{1}{w_c} \log \frac{F_2 + T_2}{F_1 - T_1} \right) \quad \text{---(1)} \quad V = \frac{l}{2E_c A_c w_c} (T_2^2 - T_1^2) + \frac{T_2 - T_1}{w_c} \quad \text{---(2)}$$

$$L = L_u + \frac{l}{2E_c A_c w_c} (F_2 T_2 + F_1 T_1 + F_1^2 \log \frac{F_2 + T_2}{F_1 - T_1}) \quad \text{---(3)}$$

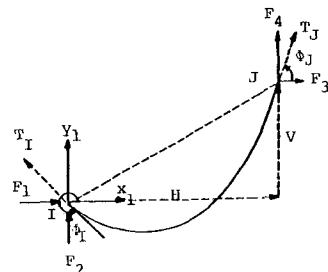


図1 ケーブル要素

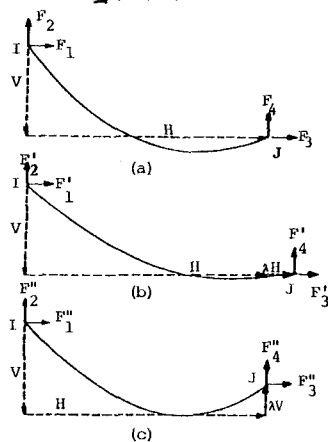


図2 微小変位による剛性係数の定義

また、静的な力の釣合い式を考慮して、H, V及びLは、最終的に与えられるF<sub>1</sub>, F<sub>2</sub>の関数としてH = H(F<sub>1</sub>, F<sub>2</sub>), V = V(F<sub>1</sub>, F<sub>2</sub>), 及びL = L(F<sub>1</sub>, F<sub>2</sub>)と表される。従って、初期値F<sub>1</sub><sup>0</sup>, F<sub>2</sub><sup>0</sup>を仮定し繰返計算によって適合条件式(1)~(3)を満足するF<sub>1</sub>, F<sub>2</sub>を求めることになる。いま、ステップiでの端部張力をF<sub>1</sub><sup>i</sup>, F<sub>2</sub><sup>i</sup>とし、不平衡力ベクトルを△F<sub>1</sub><sup>i</sup>, △F<sub>2</sub><sup>i</sup>とすれば、次のステップのF<sub>1</sub><sup>i+1</sup>, F<sub>2</sub><sup>i+1</sup>は、以下のようになり許容誤差以内を繰返される。

$$\begin{Bmatrix} F_1^{i+1} \\ F_2^{i+1} \end{Bmatrix} = \begin{Bmatrix} F_1^i \\ F_2^i \end{Bmatrix} + \begin{bmatrix} \alpha & \beta \\ \tau & \delta \end{bmatrix} \begin{Bmatrix} \Delta F_1^i \\ \Delta F_2^i \end{Bmatrix} \quad \text{---(4)} \quad \begin{Bmatrix} \Delta F_1^i \\ \Delta F_2^i \end{Bmatrix} = \begin{bmatrix} \varepsilon & \xi \\ \eta & \theta \end{bmatrix} \begin{Bmatrix} F_1^i \\ F_2^i \end{Bmatrix} \quad \text{---(5)}$$

$$\text{ここに、} \quad \varepsilon = \frac{\partial F_1^i}{\partial F_1^i}, \quad \xi = \frac{\partial F_1^i}{\partial F_2^i}, \quad \eta = \frac{\partial F_2^i}{\partial F_1^i}, \quad \theta = \frac{\partial F_2^i}{\partial F_2^i} \quad \text{---(6)} \quad \begin{bmatrix} \alpha & \beta \\ \tau & \delta \end{bmatrix} = \begin{bmatrix} \varepsilon & \xi \\ \eta & \theta \end{bmatrix}^{-1} \quad \text{---(7)}$$

次に、ケーブルの剛性係数[K<sub>α</sub>]は、式(4)~(7)から直接誘導しなさい。図2に示されるように、水平、鉛直方向の微小変位をそれぞれ△H, △Vとして与え、数値的に定義するものとすれば、

$$a_1 = (F_2^i - F_2^0) / \Delta H, \quad a_2 = (F_1^i - F_1^0) / \Delta H, \quad a_3 = (F_2^i - F_2^0) / \Delta V, \quad a_4 = (F_1^i - F_1^0) / \Delta V$$

$$\text{として、} \quad [K_\alpha] = \begin{bmatrix} k_1 & -k_2 \\ -k_1 & k_2 \end{bmatrix} \quad [k] = \begin{bmatrix} a_1 & a_3 \\ a_2 & a_4 \end{bmatrix} \quad \text{---(8)}$$

となり、微小変位増分{△x<sub>α</sub>}による微小張力増分{△F<sub>i</sub>}は、

$$\begin{Bmatrix} \Delta F_1 \\ \Delta F_2 \end{Bmatrix} = [K_\alpha] \begin{Bmatrix} \Delta x_1 \\ \Delta x_2 \end{Bmatrix} \quad \text{---(9)} \quad \text{として示される。}$$

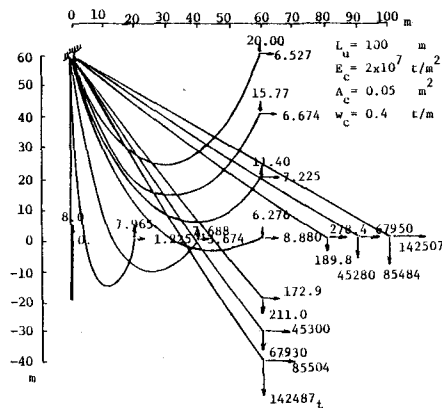


図3 単ケーブルの変形と端部張力

(2) 平面骨組解析法の適用 微小変形理論に基づく通常の平面骨組解析における剛性係数(K<sub>0</sub>)と単ケーブルの剛性係数(K<sub>c</sub>)が全体座標系で定義されているものとする。全ケーブル本数nに対して全体構造物の剛性係数(K)は  $K = (\sum_{i=1}^n K_{c_i} + K_0)$  となる。いま、i回目の繰返し計算で、ケーブル張力を{F<sub>i</sub>}、骨組構造の不均衡断面力を{F<sub>0</sub>}、そして外荷変位{P}とすると、構造物全体としての不均衡力{Q<sub>i</sub>}は、次式として表わせる。

$$\{Q_i\} = \{F_{0i}\} + \{F_i\} + \{P\} \quad \text{---- (10)}$$

従って、変位を{D<sub>i</sub>}とするとi+1回目の逆値{D<sup>i+1</sup>}は、

$$\{D^{i+1}\} = \{D_i\} + [K]^{-1} \{Q_i\} \quad \text{---- (11)}$$

として与えられ、許容誤差εとεとして  $(D^{i+1} - D_i) / D_i \leq \epsilon$  ならば収束したものと見て、最終的な釣合の形状が得られることになる。

3. 数値計算例 簡単な計算例として、無応力長が100mの単ケーブルを取上げ、その一端を固定し他端を移動させたときの变形、端部張力を式(4)を用いて求めることとする。次に、後藤による手法との比較のための文献(5)の計算例を引用する。図4に自重1kN/m、伸び剛性20x10<sup>7</sup>kgとなるケーブルの初期釣合の形状図、並びに、Case 1としてケーブル中央点でケーブル全重量の半分を鉛直上向きに、さらにCase 2として斜め45°から20t、80tを与えた場合の变形図を示す。Case 1の場合、ケーブル中央点の鉛直変位量は初期ケーブル量と一致し、Case 2についても当然ながら後藤の手法による結果と一致した。

さらに、斜張橋解析への応用として、図5に示される大径間架設モデルを対象に、片持式工法による架設を想定して架設計算を行った。なお、ケーブル無応力長は、完成時形状と水平張力を図5のように与えたとき求められ、他の構造諸元と共に表1のように示される。表2に各ステップの諸量を示す。表2より、特にステップ8で断面力、たわみが大きいことから、ステップ8の代りにステップ7から9を再分割し、途中の再分割入ステップa, b, cを取り出してその非線形度をも合わせて表示すると表3のようなになる。ステップ8を経る場合と比べ諸量の低減が見られ、加えて架設時、完成時を問わずその非線形性の無視ができないことが判る。なお、各計算の収束に要した繰返し回数も、架設時で7回、完成時で4回値であった。

4. あとがき 本手法は、ケーブル形状をカタナリーとした単ケーブルの解析法を斜張橋等のケーブルを有する骨組構造に適用したもので、解法自体は非常に平易である一方、ケーブルの極度の弛緩状態から緊張状態まで追従でき、取束性も良く、3次元への拡張も容易であることから、斜張橋のケーブル非線形性を考慮した解析法として被物線ケーブルによるアプローチよりも実用的ではないかと考えられる。

参考文献 (1) Payrot, A.H. and Gondois, A.M., "Nonlinear Analysis of Cable Restrained Structures," ASCE 1977 Annual Conventions & Exhibit held at San Francisco

(2) 前田 他: 斜張橋の設計における非線形問題, 第2回構橋工学シンポジウム, 1978 (3) Yamamoto, T., "Interactive Design of Cable-stayed Bridges," Eng. Thesis at Stanford Univ. June 1978

(4) 山本 北原: ケーブルの非線形性を考慮した斜張橋解析, 1次動機設計技術第27巻80号 (5) 後藤 夫夫: 単ケーブル群の非線形性方程式, 土木学会論文報告集 No. 270, 1978

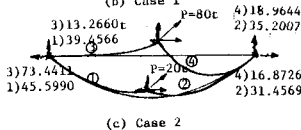
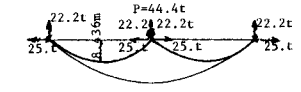
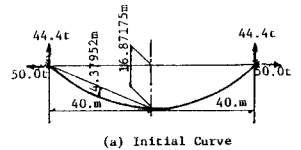


図4 集中荷重による変形と端部張力

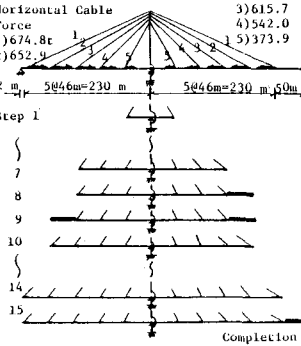


図5 大径間架設モデル

Step	V. Cc'd. Displ. (m)		Max. Bond Moment (t)	Max. Cable Stress (t/cm <sup>2</sup> )
	Left End	Right End		
1	0.042	0.042	9731	17122
2	4.222	-3.870	52490	75865
3	-0.125	-0.125	-10580	29542
4	0.102	0.102	5033	17929
5	8.131	-6.998	57900	79933
6	-0.257	-0.257	-10580	33729
7	0.122	0.122	2144	20433
8	10.740	-12.160	46320	80334
9	-0.475	-0.475	-13060	37864
10	0.082	0.082	2582	22167
11	12.260	-13.700	36140	70875
12	-0.882	-0.882	-15450	43426
13	-0.063	-0.063	-4704	26056
14	0.	-0.122	-6294	26056
15	0.	-1.255	24740	39796

表1 大径間架設時の諸元 表2 大径間架設時の断面力と断面力

Step	Max. Vertical Displ. (m)			Max. Bending Moment (t-m)		Max. Cable Stress (t/cm <sup>2</sup> )			
	Linear	Nonlinear	Error (%)	Linear	Nonlinear	Error (%)	Linear	Nonlinear	
									Linear
7	0.114	0.122	-6.6	1967	2144	-8.3	20572	20433	0.7
a	1.136	1.407	-19.3	-2957	-3230	-8.5	24771	23210	-1.8
b	-1.390	-1.436	-3.2	-6470	-6584	-1.7	28818	28060	2.7
c	-2.200	-1.930	14.0	-13180	-12910	2.1	42089	39850	5.7
9	-0.586	-0.475	2.3	-13270	-13060	1.6	38282	37864	1.7
Comp. 11	-1.337	-1.255	6.5	25790	24740	4.2	40972	39796	3.0
Comp. 11-12	-2.668	-2.385	11.9	44940	41520	8.2	61133	56666	7.9

表3 大径間架設時の非線形度